

Моделирование динамики кластеров доменных стенок в ранней Вселенной

Летягин Иван Дмитриевич

Научный руководитель: к.ф.-м.н., доц. каф. 40, Никулин В.В.

Национальный исследовательский ядерный университет «МИФИ»

25 июня 2026 г.

Отчёт о дипломной работе

Первичные чёрные дыры (ПЧД) являются многообещающими кандидатами для объяснения происхождения чёрных дыр промежуточных масс, части скрытой массы Вселенной, стохастического фона гравитационных волн, а также могут быть центрами ранних галактик.

Рассматриваемый механизм образования ПЧД — коллапс полевых доменных стенок.

Ранее исследовалась эволюция сферических стенок, но в ходе численного моделирования образуются конфигурации более сложной геометрии

Цель: уточнить спектр масс ПЧД, образующихся через коллапс доменных стенок без использования сферического приближения

Задачи:

- Вывести уравнение, описывающее эволюцию стенки в тонкостенном приближении на фоне внешней метрики
- Разработать способ численного описания движения поверхности доменной стенки
- Провести моделирование кластера доменных стенок и получить спектр масс ПЧД

Полевая структура доменных стенок

В ходе численного моделирования кластеров доменных стенок¹ из квантовых флуктуаций скалярного поля на инфляционной стадии возникают сложные несферические конфигурации:

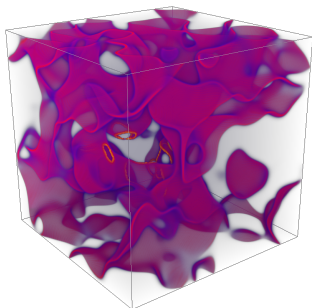


Рис.: «Солитонная пена»

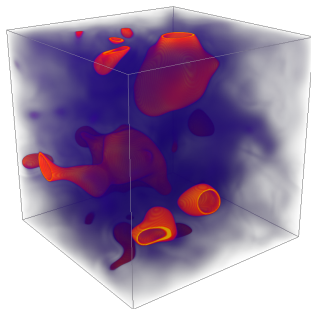


Рис.: «Доменные пузыри»

¹Kirillov, A.A. and Murygin, B.S. and Nikulin, V.V. Soliton foam formation in the early Universe, 2025

Тонкостенное приближение

Связь между системами координат — $X^\mu = X_{\text{wall}}^\mu(\tau, \vec{s}) + e^\mu(\tau, \vec{s}) h$

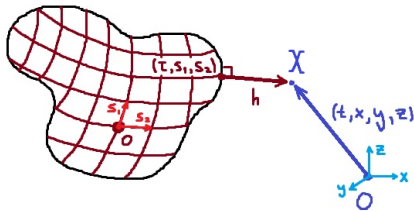


Рис.: Переход к новой системе координат; точка X представлена в новых координатах (τ, s_1, s_2, h) и в старых координатах (t, x, y, z)

Переход от полевого описания к поверхностному

$$S[\phi] = \int d^4x \sqrt{-\eta} \left(\frac{1}{2} \partial_\mu \phi \partial^\mu \phi - V(\phi) \right) \approx -\sigma \int d\tau ds^2 \sqrt{|\partial_a X_{\text{wall}}^\mu \partial_b X_{\text{wall}}^\mu|} \quad (1)$$

Уравнение движения

Варьируя действие, получаем уравнение движения:

Уравнение движения релятивистской мембраны

$$\frac{1}{\sqrt{h}} \partial_a \left(\sqrt{h} h^{ab} \partial_b X^\sigma \right) + \Gamma_{\mu\nu}^\sigma h^{ab} \partial_a X^\mu \partial_b X^\nu = 0 \quad (2)$$

где h^{ab} — метрика на поверхности доменной стенки, индексы a и b обозначают внутренние координаты стенки (τ, s_1 и s_2).

Рассмотрим эволюцию стенок на фоне плоской статической Вселенной (метрика Минковского). Тогда уравнение движения принимает вид:

Релятивистское волновое уравнение

$$\ddot{\vec{X}} - \frac{1}{\gamma^2} \Delta_s \vec{X} = 0 \quad (3)$$

где Δ_s — оператор Лапласа-Бельтрами на поверхности стенки, $\gamma = \gamma(\dot{X})$ — гамма-фактор точки на стенке.

Анализ эволюции кластеров

Рассматриваемый механизм эволюции доменных стенок — движение из-за сил поверхностного натяжения. Гравитационное взаимодействие пренебрежимо мало.

В прошлых исследованиях² использовалось сферическое приближение, которое не позволяет учитывать один из механизмов эволюции стенок — фрагментацию.

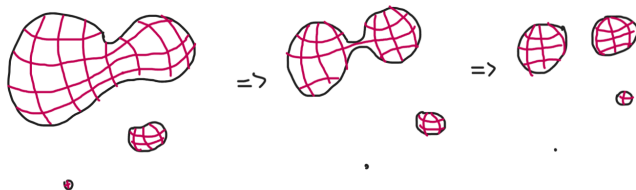


Рис.: Наглядный пример механизма фрагментации доменных стенок сложных форм

²Belotsky K. M. et al. Clusters of Primordial Black Holes // Eur. Phys. J. C. — 2019. — Т. 79. — № 3. — С. 246.

Геометрия кластера

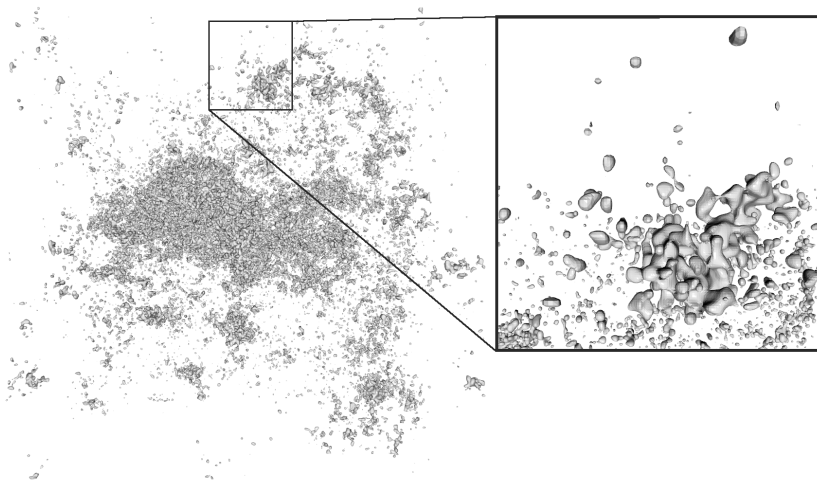


Рис.: Пример начального состояния кластера доменных стенок, сгенерированного флуктуациями скалярного поля на инфляционной стадии; параметры генерации — размер 5 е-фолдов, $\phi_{in} = 2.3$, $P(k) \propto k^{-3}$

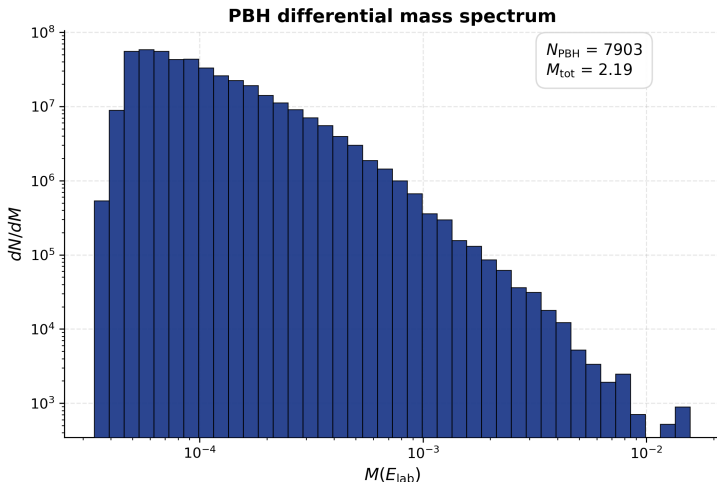


Рис.: Пример дифференциального спектра масс ПЧД, образованного коллапсом кластера доменных стенок размером 5 е-фолдов, $\phi_{\text{in}} = 2.3$, $P(k) \propto k^{-3}$

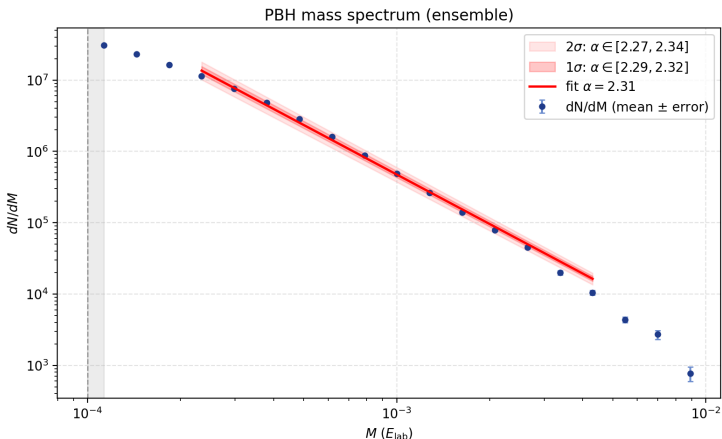


Рис.: Монте-Карло дифференциальный спектр масс ПЧД по ансамблю из 15 прогонов (5 е-фолдов, $\phi_{in} = 2.3$, $P(k) \propto k^{-3}$). Красная линия — фитирование взвешенным МНК $dN/dM \propto M^{-\alpha}$, $\alpha = 2,31^{+0,01}_{-0,02}$; закрашенные области — доверительные интервалы по бутстрепу

Для теоретической модели¹ образования ПЧД через коллапс стенок в сферическом приближении спектр масс имеет вид:

Теоретический спектр

$$\frac{dN}{dM} \propto M^{-\alpha}, \quad \alpha = 1,75$$

Для ансамбля симуляции спектр масс имеет наклон:

Фитирование численного спектра

$$\alpha = 2,31_{-0,02}^{+0,01} \quad (1\sigma), \quad \alpha \in [2,27; 2,34] \quad (2\sigma)$$

Наблюдается преобладание ПЧД меньших масс, что предположительно вызвано фрагментацией больших стенок сложной геометрии.

¹Belotsky K. M. et al. Clusters of Primordial Black Holes // Eur. Phys. J. C. — 2019. — Т. 79. — № 3. — С. 246.

Решённые задачи:

- 1 Выведено общее уравнение движения доменной стенки на фоне внешней метрики в тонкостенном приближении
- 2 Написана программа для численной симуляции эволюции кластеров, позволяющая определять множество параметров доменных стенок и образующихся из них ПЧД
- 3 Уточнён спектр масс: $dN/dM \propto M^{-2,31^{+0,01}_{-0,02}}$ вместо теоретического $dN/dM \propto M^{-1,75}$. Отличие, предположительно, вызвано фрагментацией.

В дальнейшем будут решены задачи:

- 1 Учёт диссипации энергии за счёт излучения гравитационных волн, скалярных частиц, потока Хаббла и взаимодействия с плазмой
- 2 Сравнение с будущими экспериментальными данными, способными дать наблюдательный спектр ПЧД (LIGO/Virgo/KAGRA, LISA, NANOGrav)

Приложение 1: Тонкостенный переход

Преобразования ниже делаются с учётом того, что $(\phi')^2 = 2V(\phi)$ и $\int 2V(\phi_{\text{wall}}) dh = \sigma$

Переход от полевой динамики к поверхностной

$$\begin{aligned} S[\phi] &= \int d^4x \sqrt{-\eta} \left(\frac{1}{2} \partial_\mu \phi \partial^\mu \phi - V(\phi) \right) = \\ &= \int d\tau ds^2 dh \sqrt{-g} \left(\frac{1}{2} \left(\gamma_{ab} \partial^a \phi \partial^b \phi - \partial^h \phi \partial^h \phi \right) - V(\phi) \right) = \\ &= \int d\tau ds^2 dh \sqrt{-g} \left(\frac{1}{2} \left(\gamma_{ab} \partial^a \phi_{\text{wall}}(h) \partial^b \phi_{\text{wall}}(h) - \partial^h \phi_{\text{wall}}(h) \partial^h \phi_{\text{wall}}(h) \right) - V(\phi_{\text{wall}}) \right) = \\ &= \int d\tau ds^2 dh \sqrt{\gamma} \left(-\frac{1}{2} (\phi'_{\text{wall}}(h))^2 - V(\phi_{\text{wall}}) \right) = - \int d\tau ds^2 \int 2V(\phi_{\text{wall}}) \sqrt{\gamma} dh = \\ &= -\sigma \int d\tau ds^2 \sqrt{\gamma} = -\sigma \int d\tau ds^2 \sqrt{|\partial_a X_{\text{wall}}^\mu \partial_b X_{\text{wall}}^\mu|} = S_{\text{NG}}[X_{\text{wall}}], \end{aligned}$$

Приложение 2: Численная схема

В качестве приближенно симплектического метода был выбран метод leapfrog-интегратора с KDK (kick-drift-kick) реализацией, который сохраняет фазовый объём с высокой точностью по теореме о композициях симплектиков.

KDK-интегратор состоит из трёх шагов — два полушага по импульсу и один шаг по координате, которые описываются уравнениями Гамильтона:

Уравнения Гамильтона

$$\dot{\vec{\pi}} = -\vec{n} \frac{\partial H}{\partial \vec{x}}, \quad \dot{v}_{\perp} = \frac{\partial H}{\partial \pi} \quad (4)$$

Таким образом совершается классический переход от одного уравнения второго порядка к двум уравнениям первого порядка.

Приложение 2: Численная схема

Дано: (\vec{r}_i^n, π_i^n) , шаг h , натяжение σ

- **Геометрия в начале:** $L\vec{r}, A, \vec{n} \leftarrow \text{compute_geometry}(\vec{r}_i^n)$
- $\gamma_i = \sqrt{1 + (\pi_i^n / (\sigma A_i))^2}$, $F_i = \frac{\sigma}{\gamma_i} \vec{n}_i L\vec{r}_i$
- $\pi_i^{n+1/2} = \pi_i^n + \frac{h}{2} F_i$ (первый полу-кик)
- $v_{\perp i} = \pi_i^{n+1/2} / \sqrt{(\sigma A_i)^2 + (\pi_i^{n+1/2})^2}$ (точная связь)
- $\vec{r}_i^{n+1} = \vec{r}_i^n + h v_{\perp i} \vec{n}_i$ (дрейф)
- **Геометрия в конце:** $L\vec{r}', A', \vec{n}' \leftarrow \text{compute_geometry}(\vec{r}_i^{n+1})$
- $\gamma'_i = \sqrt{1 + (\pi_i^{n+1/2} / (\sigma A'_i))^2}$, $F'_i = \frac{\sigma}{\gamma'_i} \vec{n}'_i{}^T L\vec{r}'_i$
- $\pi_i^{n+1} = \pi_i^{n+1/2} + \frac{h}{2} F'_i$ (второй полу-кик)

Приложение 3: Треугольная сетка, регуляризация

Начальная полевая конфигурация кластера переводится в поверхность с помощью триангуляции алгоритмом *marching cubes*. Полученная триангулированная поверхность симулируется методами, описанными в Приложении 2.

Так как треугольная сетка для устойчивости решения требует максимальной регулярности (входящие треугольники должны быть максимально близки к равносторонним), то в ходе симуляции используются различные методы регуляризации:

- Тангенциальное сглаживание — это сдвиг вершин вдоль поверхности (в касательной плоскости), чтобы выровнять сетку почти без изменения её формы
- Схлопывание рёбер — это удаление ребра, которое короче некоторого заданного предела
- Переворот рёбер — это замена общей диагонали в паре соседних треугольников на другую с целью улучшения формы сетки без смещения вершин

Схлопывание рёбер и задаёт разрешение сетки, позволяя детектировать образование ПЧД.

Приложение 4: Уравнение движения на фоне FLRW

Учёт *FLRW*-метрики расширяющейся Вселенной при слабо меняющейся постоянной Хаббла H приводит к сложным нелинейным уравнениям:

$$\ddot{\vec{X}} + 2H\dot{\vec{X}} \left(1 - \frac{a^2}{\gamma^2} (\nabla_s \vec{X})^2 \right) + \frac{1}{\gamma} \dot{\vec{X}} \left(\omega + \frac{\partial_\tau \gamma}{\gamma} \right) - \frac{1}{\gamma^2} \Delta_h \vec{X} = 0, \quad (5)$$

где $h^{ab} = \text{diag}(1, -\mathcal{H}^{ab})$, $\omega = \frac{\partial_\tau \mathcal{H}}{2\mathcal{H}}$, $\nabla_s = (\partial_{s_1}, \partial_{s_2})$, $\gamma = \partial_\tau t$, а $\partial_\tau \gamma$ ищется из уравнения:

$$\partial_\tau \gamma + \omega \gamma - \Delta_h t + H a^2 \left(\gamma^2 \dot{\vec{X}}^2 - (\nabla_s \vec{X})^2 \right) = 0 \quad (6)$$

Данные уравнения представляются крайне сложными для анализа и дискретизации, поэтому в работе рассматривался более простой случай метрики Минковского.